

محاسبات سرعت فاز و سرعت گروه با استفاده از نگاشتهای دوره بلند

* محمد کمال قاسم‌العسکری

دانشگاه صنعت نفت، دانشکده مهندسی نفت / هواز، صندوق پستی ۶۳۴۲۱

(دریافت مقاله: ۱۰/۱۲/۲۰۱۸، پذیرش مقاله: ۰۱/۱۲/۲۰۱۸)

چکیده

در این بررسی داده‌های زمین‌لرزه‌های دوره بلند تحلیل شد و برای محاسبه سرعت گروه و سرعت فاز مورد استفاده قرار گرفت. نگاشتهای سه مؤلفه‌ای زمین‌لرزه سوم مه ۱۹۹۵ کارون در ایران که پایگاه ایلپا (ILPA) شبکه بین‌المللی زلزله‌نگاری مؤسسه ژئوفیزیک دانشگاه تهران ثبت کرده بود و همچنین نگاشتهای دوره بلند زمین‌لرزه سنت هلنا (Bisett و هفت آوریل ۱۹۸۶) در دو ایستگاه زلزله‌نگاری KON اسپانیا و TOL نروژ مورد بررسی قرار گرفت و برای محاسبات سرعت گروه و سرعت فاز از آنها استفاده شد. نگاشتهای یادشده که با دستگاه‌های زلزله‌نگار دوره بلند ثبت شده‌اند پس از تصحیحات لازم (تصحیح برای دستگاه‌ها و تصحیح انحراف محور) با روش طیفی و تحلیلی در صفحه بسامد-زمان پردازش شدند و فازهای امواج سطحی از آنها جداسازی شد. با استفاده از تحلیل طیفی محاسبات سرعت گروه و سرعت فاز بین پایگاه‌های یادشده، برای هر کدام از نگاشتهای بین‌المللی خودکار صورت گرفت و منحنی‌های پاشیدگی فازهای امواج سطحی از نگاشتهای مربوط محاسبه شدند. نتایج بدست آمده از محاسبات سرعت گروه و سرعت فاز نگاشتهای سه مؤلفه‌ای پایگاه ایلپا نشان می‌دهد که سرعت فاز بین سه پایگاه شماره ۱ و ۲ و ۷ از سرعت گروه محاسبه شده در هر سه پایگاه کمتر است (پاشیدگی وارون، inverse dispersion) و نگاشتهای زلزله بیست و هفت آوریل ۱۹۸۶ یک نوع پاشیدگی نرمال (normal dispersion) را نشان می‌دهد. به علاوه سرعت فاز محاسبه شده بین مؤلفه‌های قائم سه پایگاه ایلپا با بسامد امواج سطحی افزایش قابل ملاحظه‌ای را نشان می‌دهد. در صورتی که سرعت فاز محاسبه شده بین مؤلفه‌های افقی سه پایگاه (شرقی-غربی و شمالی-جنوبی) با بسامد امواج سطحی کاهش می‌یابد. این گونه رفتار در منحنی‌های پاشیدگی نشان می‌دهد که سرعت فاز امواج برآشی بر حسب عمق کاهش قابل ملاحظه‌ای دارد. به علت عبور امواج سطحی از رشته کوه‌های زاگرس در امتداد رمر کز زمین‌لرزه سوم مه ۱۹۹۵ کارون نسبت به پایگاه ایلپا بیشترین مقدار انرژی بسته‌ای مدهای بالائی امواج سطحی حذف شده است (به علت پدیده‌های تکتونیکی شدید). به علاوه عبور امواج سطحی از دو ناحیه با اختلاف امپدانس کاملاً مقاومت (آب به خشکی و بالمسک) مدهای بالائی امواج سطحی از نگاشتهای زلزله ۲۷ آوریل ۱۹۸۶ در دو ایستگاه KON و TOL از نرمال بسته‌ای خود را کاملاً از دست داده‌اند و ضعیف شده‌اند و به همین دلیل روی صفحه بسامد-زمان کمتر ظاهر شده‌اند. لذا هر قدر فاصله ایانگاهها از کانون زمین‌لرزه بیشتر باشد تراکم امواج سطحی با طول موج زیاد یا تناوب بلند به نسبت زیادتر خواهد بود و اطلاعات بدست آمده از عمق‌های بیشتری امکان‌پذیر است. از طرف دیگر خطای در محاسبات سرعت گروه و سرعت فاز از نگاشتهای اصلی با پریود بلند افزایش می‌یابد. با کاربرد الگوریتم‌های عرضه شده می‌توان نسبت این گونه خطاهای را کاهش داد.

واژه‌های کلیدی: نگاشتهای دوره بلند، سرعت گروه، سرعت فاز، جداول امواج سطحی لاو و ریلی

۱ مقدمه

معمولًاً گیرنده‌ها با ترتیب خاصی در نزدیکی یکدیگر و یا در یک راستا قرار داده می‌شوند (در مقایسه با طول موج) و این که ضمناً چشم‌های باند بسامدهای ثابتی عمل می‌کند، محاسبه سرعت فاز با مقایسه دو نقطه از فاز ثابت بین حداقل دو لرزه‌نگاشت امکان‌پذیر است. لذا سرعت فاز نسبت تفاوت فاصله دو لرزه‌نگاشت به تفاوت زمان انتشار فاز مشخصی از امواج سطحی است. ولی در زلزله‌شناسی برای تعیین سرعت فاز از نگاشتهای چند مشکل وجود

امواج سطحی در اثر انتشار در محیط‌های پاشیده با لایه‌بندی نامتجانس زمین تغییر شکل می‌دهند و تغییر شکل آنها تابع مختصات مکانی و حدود بسامد مربوط است. به دیگر سخن سرعت امواج سطحی در اثر عبور از لایه‌های زمین با بسامد تغییر می‌کند. به علت همین پدیده پاشیدگی، دو نوع سرعت را می‌توان به امواج سطحی نسبت داد که با بسامد، زمان تناوب، عدد موج و یا طول موج رابطه دارند. در لرزه‌شناسی اکتشافی به علت این که

شد. در مرحله بعدی با روش عرضه شده در این مقاله منحنی‌های پاشیدگی فازهای امواج سطحی از نگاشتهای زمین‌لرزه ثبت شده در سه پایگاه ایلپا محاسبه شد.

۲ مفهوم سرعت فاز و سرعت گروه

در محیط پاشیده (dispersive medium) سرعت بیشینه پالس همان سرعت گروه است.

$$U(\omega) = \frac{d\omega}{dk} = \frac{\omega_2 - \omega_1}{k_2 - k_1} \quad (1)$$

به طور کلی اگر در رابطه فوق $\omega = kc$ را قرار دهیم و از آن مشتق بگیریم خواهیم داشت.

$$U(\omega) = \frac{d\omega}{dk} = \frac{d(kc)}{dk} = c + k \frac{dc}{dk} \quad (2)$$

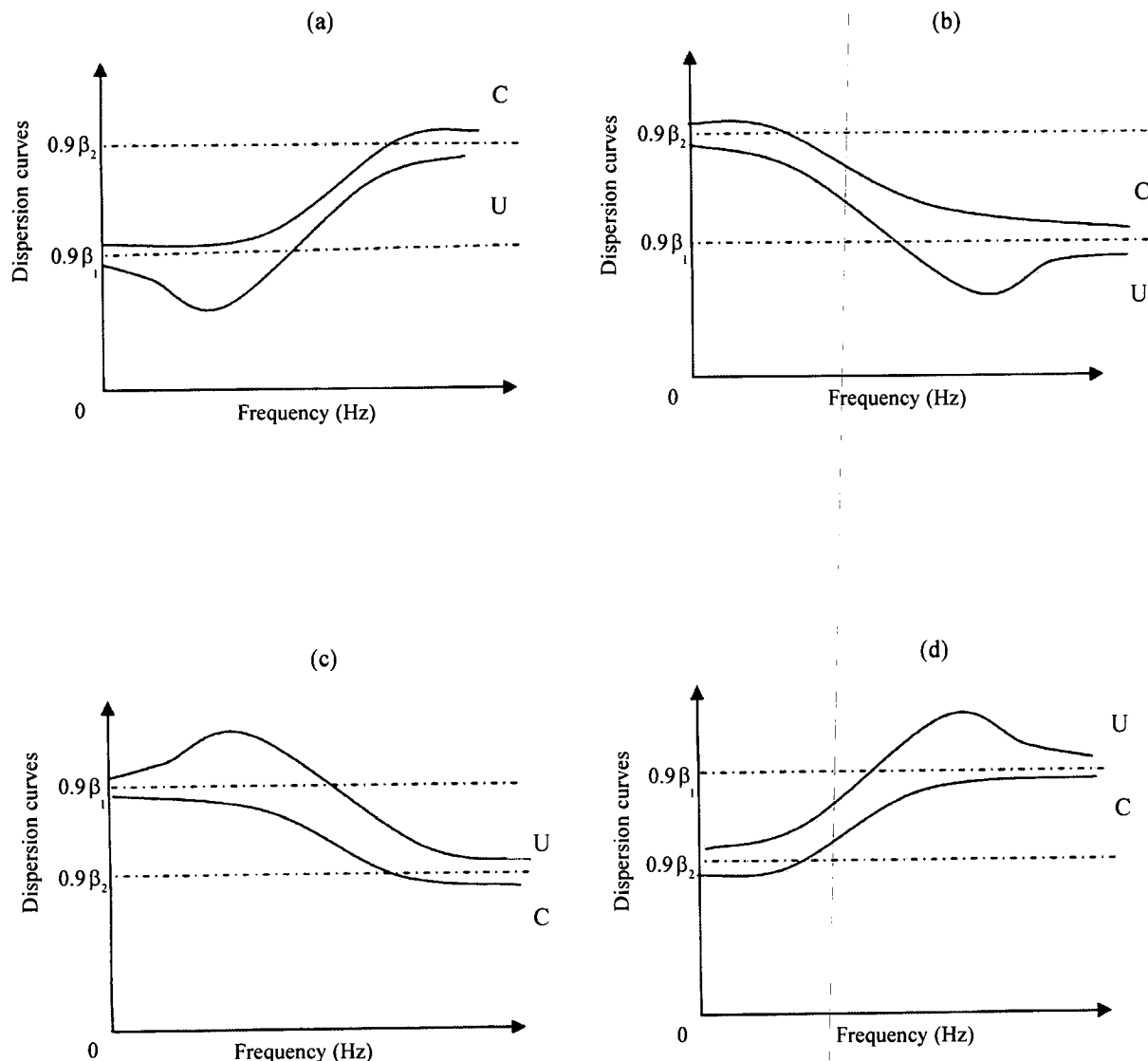
اگر سرعت فاز c تابع طول موج نباشد ($\frac{dc}{dk} = 0$) سرعت گروه معادل سرعت فاز است. بنابراین در محیط همگن، تفاوتی بین سرعت فاز و سرعت گروه وجود ندارد. ولی در محیط پاشیده اگر سرعت فاز بیشتر از سرعت گروه باشد، پاشیدگی را نرمال (normal dispersion) و اگر سرعت فاز کمتر از سرعت گروه باشد، پاشیدگی را وارون (inverse dispersion) گویند.

نویف و شواب (۱۹۶۸) پیشنهاد کردند که تغییر فاز منبع زمین‌لرزه با استفاده از پارامترهای منبع و محیط انتشار امواج در اطراف کانون سطحی زمین‌لرزه قابل محاسبه است.

با استفاده از دو پایگاه می‌توان سرعت فاز و سرعت گروه را محاسبه کرد. کلیز-بروک (۱۹۸۹) نشان داد که سرعت فاز امواج سطحی از نگاشتهای زمین‌لرزه چند پایگاه که در یک راستا هستند قابل محاسبه است.

دارد: اول پایگاه‌ها ممکن است نسبت به یکدیگر فاصله زیادی داشته باشند و یا در یک راستا نباشند (با مقایسه با کانون زمین‌لرزه). دوم منبع زمین‌لرزه با باند بسامدهای متفاوتی عمل می‌کند و سوم قرائت فاز مشخصی از روی نگاشتهای اصلی گاهی با خطأ همراه است. همچنین در لرزه‌شناسی اکتشافی به علت این که زمان آزاد شدن انرژی از منبع معلوم است، اگر زمان ورود حداکثر پوش موج در محل گیرنده معلوم باشد به سادگی می‌توان سرعت گروه را محاسبه کرد، ولی در زلزله‌شناسی برای تعیین سرعت گروه از نگاشتهای زلزله چند مشکل وجود دارد: اول این که زمان آزاد شدن انرژی از منبع زمین‌لرزه کاملاً معلوم نیست، دوم کانون عمقی زمین‌لرزه با روش‌های متداول دقیقاً قابل محاسبه نیست، سوم جداسازی فازهای امواج سطحی از نگاشتهای زلزله گاهی با خطأ همراه است. با مراجعه به شکل ۱ می‌توان چهار نوع طبقه‌بندی برای تعریف پاشیدگی امواج سطحی در نظر گرفت که با تحلیل نگاشتهای دوره بلند به دست می‌آیند.

ساتو (۱۹۵۵) روش دو پایگاهی را برای محاسبه سرعت فاز از نگاشتهای زمین‌لرزه پیشنهاد کرد. پرس (۱۹۵۶) روش سه پایگاهی را ابداع نمود. مزیت روش سه پایگاهی در ایجاد شبکه زلزله‌نگاری برای محاسبه دقیق‌تر سرعت فاز است. روش سه پایگاهی آکی (۱۹۶۱) برای پایگاه‌های بیشتری تعیین یافت. بلوج و هیلس (۱۹۶۸) با محاسبه همبستگارها (همبستگی عرضی) بین دو پایگاه زلزله‌نگار سرعت فاز و سرعت گروه را به دست آوردند. اغلب همبستگی عرضی لرزه‌نگاشتهای دو پایگاه باعث افزایش نویف در همبسته نگار می‌شود و محاسبات سرعت فاز و سرعت گروه را با خطأ مواجه می‌کند. لذا در این مقاله، تحلیل طیفی بسامد- زمان در صفحه‌ای با فیلتر شناور (قاسم‌العسکری، ۱۳۷۴) صورت گرفت و امواج سطحی لاو و ریلی از نگاشتهای زمین‌لرزه جداسازی



شکل ۱. طبقه‌بندی منحنی‌های امواج پاشیده.
(a). امواج دارای پاشیدگی نرمال افزایشی (normal-forward)
(b). امواج دارای پاشیدگی نرمال کاهشی (normal-reverse)
(c). امواج دارای پاشیدگی وارون کاهشی (inverse-reverse)
(d). امواج دارای پاشیدگی وارون افزایشی (inverse-forward)

ژئوفیزیک دانشگاه تهران آن را با الگوریتم‌های یادشده پردازش شده به صورت زیر بررسی می‌شوند:

در شکل ۲-a نقشه و محل استقرار سه پایگاه ایلپا مشخص شده است. پایگاه شماره ۱ در حکم پایگاه مرتع برای محاسبات سرعت فاز انتخاب شد، زیرا با کانون زمین لرزه و پایگاه شماره ۲ در یک راستا قرار دارند.

مشخصات زمین لرزه سوم مه ۱۹۹۵ و مختصات هر کدام از پایگاه‌های ایلپا به ترتیب در شکل‌های ۲-b، ۲-c و ۲-d نشان داده شده‌اند. با استفاده از این اطلاعات می‌توان مشخصات زمان وقوع، موقعیت کانون زمین لرزه و جهت انتشار امواج را نسبت به پایگاه‌ها مشخص کرد. طبق گزارش مؤسسه ژئوفیزیک دانشگاه تهران، زمین لرزه سوم مه ۱۹۹۵ در ساعت ۲ و ۴۹ دقیقه و ۵۲/۹ ثانیه با زمان تأخیر متوسطی معادل ۱۰۵ ثانیه در پایگاه‌های سه مؤلفه‌ای ایلپا با تناوب بلند (شکل ۲-e) ثبت شد. بزرگی این زمین لرزه در مقیاس امواج تراکمی نشان داد که کانون زلزله با زاویه ۱۶ درجه جنوب شرقی پایگاه و در منطقه کازرون واقع بوده است. در شکل ۳، مؤلفه‌های قائم شرقی - غربی و شمالی - جنوبی در سه پایگاه شماره ۱، ۲ و ۷ نشان داده شده است. در شکل ۴، مراحل پردازش نگاشت مؤلفه قائم پایگاه شماره ۱ در حکم پایگاه مرتع آورده شده است. در شکل ۵-a مؤلفه قائم نگاشت اصلی زلزله سوم مه ۱۹۹۵ قبل از هر گونه تصحیحات نشان داده شده است. نگاشت زلزله مذکور پس از تصحیح طیف فاز با استفاده از بسامد پاسخ دستگاه زلزله‌نگار و حذف شیفت ثابت و تصحیح برای انحراف محور در شکل ۵-b آورده شده است. شکل ۵-c چگالی طیف توان نشان داده شده است تا حدود بسامد امواج سطحی مشخص شود. در شکل ۵-d با استفاده از پنجره‌ای دو بعدی امواج سطحی در صفحه‌ای بر حسب تناوب جداسازی شده است. در مرحله بعدی امواج سطحی جدا شده از مرحله قبل در محدوده سرعت گروه نمونه‌برداری شد (شکل ۵-e) و

ضمیماً روشن ساخت که ضریب میرایی محیط از نگاشتهای زمین لرزه با استفاده از حداقل دو نگاشت از دو ایستگاه مجاور امکان‌پذیر است. بنابراین با استفاده از دو نگاشت دو ایستگاه می‌توان نوشت. (بن- منهن و همکاران، ۱۹۶۵).

(۳)

$$\gamma(\omega) = \ln[A(\omega, \theta, r_2)/A(\omega, \theta, r_1)]/(r_2 - r_1)$$

در معادله فوق $A(\omega, \theta, r)$ طیف دامنه امواج سطحی مربوط به دو ایستگاه لرزه‌نگاری است که در یک راستا واقع‌اند. لرزه‌نگارها باید از دو نوع مختلف باشند که در این صورت با استفاده از ضریب میرایی محیط (۱) γ و سرعت گروه $U(\omega)$ ، فاکتور Q قابل محاسبه است.

$$Q^{-1} = 2\gamma(\omega) U(\omega) / \omega \quad (4)$$

ضریب میرایی محیط را با استفاده از سه ایستگاه می‌توان به صورت دقیق‌تر محاسبه کرد.

$$\gamma(\omega) = \ln[\bar{A}] / (r_3 - r_1) \quad (5)$$

که در آن

$$\bar{A} = [A(\omega, \theta, r_2).A(\omega, \theta, r_3)] / [A(\omega, \theta, r_1).A(\omega, \theta, r_2)]$$

اگر رابطه (۵) را در رابطه (۴) قرار دهیم در این صورت فاکتور Q با استفاده از سه پایگاه قابل محاسبه است. در این مقاله از الگوریتم فوق برای محاسبه سرعت فاز و سرعت گروه با سه ایستگاه استفاده شده است.

۳ پردازش لرزه‌نگاشتهای زمین لرزه سوم مه ۱۹۹۵ کازرون

مراحل جداسازی امواج سطحی و محاسبات سرعت گروه و سرعت فاز از نگاشتهای زمین لرزه سوم مه ۱۹۹۵ که سه پایگاه زلزله‌نگاری شماره ۱، ۲ و ۷ (ایلپا) مؤسسه

دو پایگاه پردازش و جداسازی شد. نگاشت‌های یادشده که دو پایگاه لرزه‌نگاری رقمی با دوره بلند آنها را ثبت کردند، پس از تصحیحات برای دستگاه‌های زلزله‌نگاری به ترتیب در شکل‌های a-۷ و a-۸ داده شده‌اند. مشخصات دستگاه‌ها و مختصات زمین‌لرزه ۲۷ آوریل ۱۹۸۶ آقیانوس اطلس در شکل‌های b-۷ و b-۸ آورده شده است.

در مرحله اول هر کدام از نگاشت‌های TOL و KON مورد پردازش قرار گرفتند و با روش تحلیلی بسامد- زمان امواج سطحی از آنها جداسازی شد. بدین معنی که ابتدا طیف تحلیلی نگاشت‌ها را به دست آوردم و سپس طیف‌ها c-۸ و c-۸ در محدوده بسامد‌های هر کدام از نگاشت‌ها محاسبه شد. طیف‌های حاصل از این مرحله را به حوزه بسامد- زمان انتقال دادیم و با استفاده از فیلتر مخصوصی به نام فیلتر شناور که پنجره‌اش در بسامد ثابتی با زمان تغییر می‌کند، امواج را شناسایی و جداسازی نمودیم. این عمل چندین بار تکرار شد تا امواج سطحی کاملاً از پیکره نگاشت‌های زمین‌لرزه مجزا شد. طیف‌های جداشده با روش معکوس به حوزه بسامد و سپس به حوزه زمان تبدیل شد.

شکل‌های d-۷ و d-۸ به همان ترتیب که امواج لاو را از پیکره نگاشت‌های TOL و KOL جداسازی نمودیم در صفحه دو بعدی بسامد- زمان طیف امواج ریلی را، نیز شناسایی و جداسازی کردیم. نگاشت امواج ریلی مربوط به پایگاه TOL در شکل a-۹ و نگاشت امواج ریلی مربوط به پایگاه KON در شکل c-۹ نشان داده شده‌اند. برای مقایسه امواج ریلی و لاو طیف بسامد- زمان برای هر کدام از پایگاه‌های TOL (شکل b-۹) و KON (شکل d-۹) نشان داده شده است. در مرحله دوم با استفاده از نگاشت‌های جداشده لاو و ریلی محاسبات سرعت گروه و سرعت فاز صورت گرفت. نتایج این گونه محاسبات در شکل ۱۰ نشان داده شده است. در این مرحله ابتدا

سپس در صفحه بسامد- زمان با استفاده از فیلتر شناور، جداسازی امواج سطحی صورت گرفت (شکل ۶-b). بدین ترتیب امواج سطحی پس از چندین مرحله پردازش به دست آمد (شکل ۶-c). در مرحله بعد با روش مشابه نگاشت اصلی مؤلفه قائم پایگاه شماره ۷ که با پایگاه شماره ۱ نسبت به کانون سطحی زمین‌لرزه (رومکز) تقریباً در یک راستا هستند، پردازش شدند. در این مرحله امواج سطحی تا حد امکان اجداسازی شد. با توجه به این که سرعت گروه در پایگاه شماره ۱ به خوبی مشخص شده (شکل ۵-a) می‌توان با استفاده از روش پاشیدگی به جای مانده (کلیز- بروک، ۱۹۸۹) سرعت فاز امواج سطحی بین دو پایگاه شماره ۱ و ۷ را محاسبه کرد (شکل ۶-a). در شکل ۶-b سرعت گروه از مؤلفه‌های قائم سه پایگاه (منحنی‌ها شماره ۱، ۲ و ۷) محاسبه شده‌اند. در اینجا با استفاده از روش فوق سرعت فاز امواج سطحی بین نگاشت‌های سه پایگاه شماره ۱، ۲ و ۷ به دست آمده‌اند (منحنی شماره ۱۲۷). در شکل ۶-c با روش مشابهی سرعت گروه از مؤلفه‌های شرقی- غربی در سه پایگاه و سرعت فاز امواج سطحی بین سه پایگاه شماره ۱، ۲ و ۷ محاسبه شد. در شکل ۶-d سرعت گروه از مؤلفه‌های شمالی- جنوبی در سه پایگاه و سرعت فاز امواج سطحی بین سه پایگاه شماره ۱، ۲ و ۷ نیز محاسبه شده‌اند. مقایسه و نحوه پردازش نگاشت‌ها در نتیجه گیری آورده شده است.

۴ پردازش لرزه‌نگاشت‌های زمین‌لرزه بیست و هفت آوریل ۱۹۸۶

مراحل جداسازی امواج سطحی از نگاشت‌های دو پایگاه زلزله‌نگاری (KON و TOL) مربوط به زمین‌لرزه بیست و هفت آوریل ۱۹۸۶ از شبکه استاندارد جهانی (WWSSN) مورد بررسی قرار گرفت و محاسبات سرعت فاز و سرعت گروه امواج سطحی (لاو و ریلی) دو نگاشت از داده‌های

- ۳- تحلیل طیفی نگاشتهای اصلی زمین‌لرزه در پنجره زمان تناوب مناسب‌ترین روش مستقیم برای برآورد اولیه سرعت گروه محاسبه شود (شکل‌های a-۵ و b-۴ و d-۴).
- ۴- در صورتی که سرعت گروه در یک پایگاه دقیقاً معلوم باشد با روش پاشیدگی به جای مانده می‌توان سرعت فاز بین دو یا چند پایگاه را به دقت محاسبه کرد (شکل ۶).
- ۵- شکل ظاهری منحنی‌های پاشیدگی امواج سطحی به تعداد مدهای موجود در آنها بستگی دارد هر قدر تعداد مدهای موجود در امواج سطحی بیشتر باشند تغییرات سرعت فاز نسبت به بسامد بیشتر است (شکل a-۶).
- ۶- سرعت گروه محاسبه شده در بیشتر موارد از سرعت فاز نگاشتهای پایگاه‌های ایلپا بیشتر است (پاشیدگی‌های وارون در شکل ۶).
- ۷- سرعت فاز در محدوده بسامد انطباق منحنی‌های پاشیدگی سرعت گروه واقع است (شکل ۶).
- ۸- به علت این که داده‌های زمین‌لرزه سوم مه ۱۹۹۵ کازرون نوعی پاشیدگی وارون را نشان می‌دهند (شکل ۶) می‌توان نتیجه گرفت که در این منطقه سرعت امواج بر Shi نسبت به عمق کاهش می‌یابد.
- ۹- در پاشیدگی وارون کاهشی معمولاً سرعت فاز با افزایش بسامد کاهش می‌یابد ولی سرعت گروه بیشتر از سرعت فاز است (شکل‌های a-۶ و c-۶).
- ۱۰- در پاشیدگی وارون افزایشی مؤلفه‌های قائم دو پایگاه، معمولاً سرعت فاز با بسامد افزایش می‌یابد ولی سرعت گروه بیشتر از سرعت فاز است (شکل a-۶).
- ۱۱- سرعت فاز محاسبه شده بین مؤلفه‌های قائم سه پایگاه ایلپا با بسامد امواج سطحی افزایش می‌یابد (پاشیدگی وارون افزایشی) (شکل‌های a-۶ و b-۶).

منحنی‌های سرعت فاز از نگاشتهای اصلی دو پایگاه TOL و KON که در یک راستا قرار دارند، به طریقه برونویابی به دست آمد (شکل a-۱۰). با انتخاب منحنی‌های شماره ۱ و ۲، (در شکل a-۱۰) محاسبات سرعت فاز صورت گرفت که در شکل b-۱۰ نشان داده شده است. در شکل b-۱۰ نیز منحنی‌های پاشیدگی سرعت گروه برای هر کدام از نگاشتهای محاسبه شده است. در شکل c-۱۰ منحنی‌های سرعت گروه از نگاشتهای امواج لاو و ریلی به دست آمده‌اند و منحنی شماره ۲ در حکم تابع متوسط در محاسبات سرعت فاز مورد استفاده قرار گرفت. منحنی‌های پاشیدگی سرعت فاز در محدوده بسامد امواج لاو و ریلی در شکل d-۱۰ واقع‌اند. در شکل d-۱۰ منحنی‌های پاشیدگی سرعت فاز برای هر کدام از نگاشتهای پایگاه‌های TOL و KON محاسبه شده‌اند. مقایسه و نحوه پردازش نگاشتهای نتیجه‌گیری آورده شده است.

۵ نتیجه‌گیری

با توجه به محاسبات سرعت گروه و سرعت فاز امواج سطحی سه پایگاه سه مؤلفه‌ای شبکه ایلپا و پردازش دو نگاشت دوره بلند زلزله بیست و هفت آوریل ۱۹۸۶ از شبکه استاندارد جهانی، می‌توان انتیاج را به نحو زیر خلاصه کرد

۱- در شکل a-۳ پاشیدگی وارون افزایشی (inverse-dispersion) امواج سطحی دارای قطارهای کوتاهی از امواج پراکنده‌اند، زیرا در چنین شرایطی میرایی محیط انتشار به حد اکثر می‌رسد و دامنه به طور ناگهانی کاهش می‌یابد (شکل a-۶).

۲- در شکل b-۳ نگاشتهای زلزله سوم مه ۱۹۹۵ کازرون به علت عبور امواج سطحی از رشته کوه‌های زاگرس در امتداد پایگاه ایلپا پیشترین انرژی بسته‌ای مدهای بالایی حذف شده‌اند.

تشکر و قدردانی

بدین وسیله از مؤسسه ژئوفیزیک دانشگاه تهران و آقای مهندس احمد سدیدخوی به خاطر در اختیار قرار دادن نگاشت‌های زمین‌لرزه سوم مه ۱۹۹۵ پایگاه ایپا و همچنین از سرکار خانم نهضت مرادی و سرکار خانم فربیا خلبانی که این مقاله را ویراستاری کردند تشکر و قدردانی می‌شود.

منابع

قاسم‌العسکری، م. ک.، ۱۳۷۴، محاسبات سرعت فاز و سرعت گروه از نگاشت‌های زلزله به روش طیف تحلیلی بسامد- زمان، مجموعه مقالات دومین کنفرانس بین‌المللی زلزله‌شناسی و مهندسی زلزله، جلد سوم، صفحه ۱۹۲۷.

- Aki, k., 1961, Crustal structure in Japan from the phase velocity of Rayleigh waves. Bull. Earthq. Res. Inst. Tokyo University, **39**, 255-283.
- Bloch, S., and Hales, A. L., 1968, Surface wave dispersion: Bull. Seism. Soc. Am., **58**, 1021.
- Ben-Menahem, A. S., Smith, W., and Teng, T. L., 1965, A procedure for source studies from spectrums of long period seismic body waves: Bull. Seism. Soc. Am., **55**, 203-235.
- Keilis-Borok V. I., 1989, Seismic surface waves in laterally inhomogeneous Earth, Kluwer Publ. House Dordereht.
- Knopoff, L., and Schwab, F., 1968, Surface waves calculation for earthequake records: J. Geophys. Res., **73**, 755.
- Press, F., 1956, Determination of crustal structure from phase velocity of Rayleigh waves. Part I. southern California: Bull. Seism. Soc. Am., **67**, 1647-1658.
- Sato, Y., 1955, Analysis of dispersion surface waves. Bull. Earthq. Inst., Tokyo University, **33**, 33-48.

۱۲- در پاشیدگی نرمال (normal dispersion) امواج سطحی دارای قطارهای طولی از امواج پراکنده و بیشینه دامنه معمولاً در حداقل سرعت گروه واقع است (شکل‌های a-۷، a-۸ و b-۱۰).

۱۳- برای نگاشت‌های زلزله بیست و هفت آوریل ۱۹۸۶ سنت هلنا در اقیانوس اطلس که در دو پایگاه نروژ و اسپانیا ثبت شده‌اند به علت عبور امواج سطحی از دو ناحیه با اختلاف امپدانس کاملاً متفاوت (آب به خشکی و بالعکس) مدهای بالایی امواج بررسی، انرژی بسته‌ای خود را از دست داده‌اند و ضعیف شده‌اند (شکل‌های ۷ و ۸).

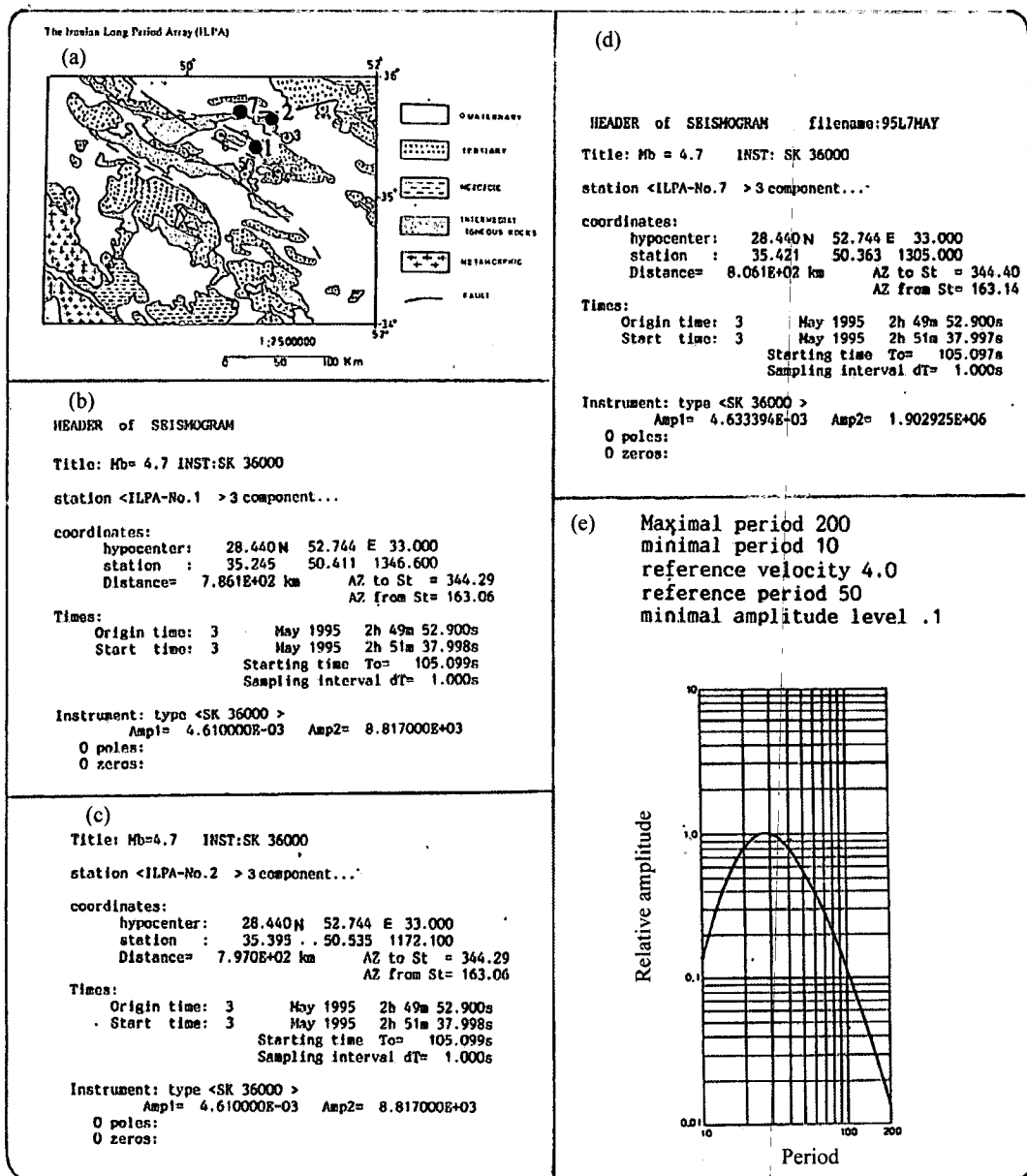
۱۴- جداسازی امواج سطحی در صفحه طیف تحلیلی بسامد- زمان بر حسب تناوب مناسب‌تر است. زیرا می‌توان در مقیاس وسیع‌تری امواج سطحی را تشخیص داد و جداسازی نمود (شکل‌های a-۵، d-۴ و a-۵، b-۹).

۱۵- سرعت فاز امواج سطحی ممکن است بیشتر از سرعت گروه باشد (پاشیدگی‌های نرمال در شکل (b-۱۰).

۱۶- برای زمین‌لرزه بیست و هفت آوریل ۱۹۸۶ سرعت گروه امواج لاو بیشتر از سرعت گروه امواج ریلی است (شکل c-۱۰).

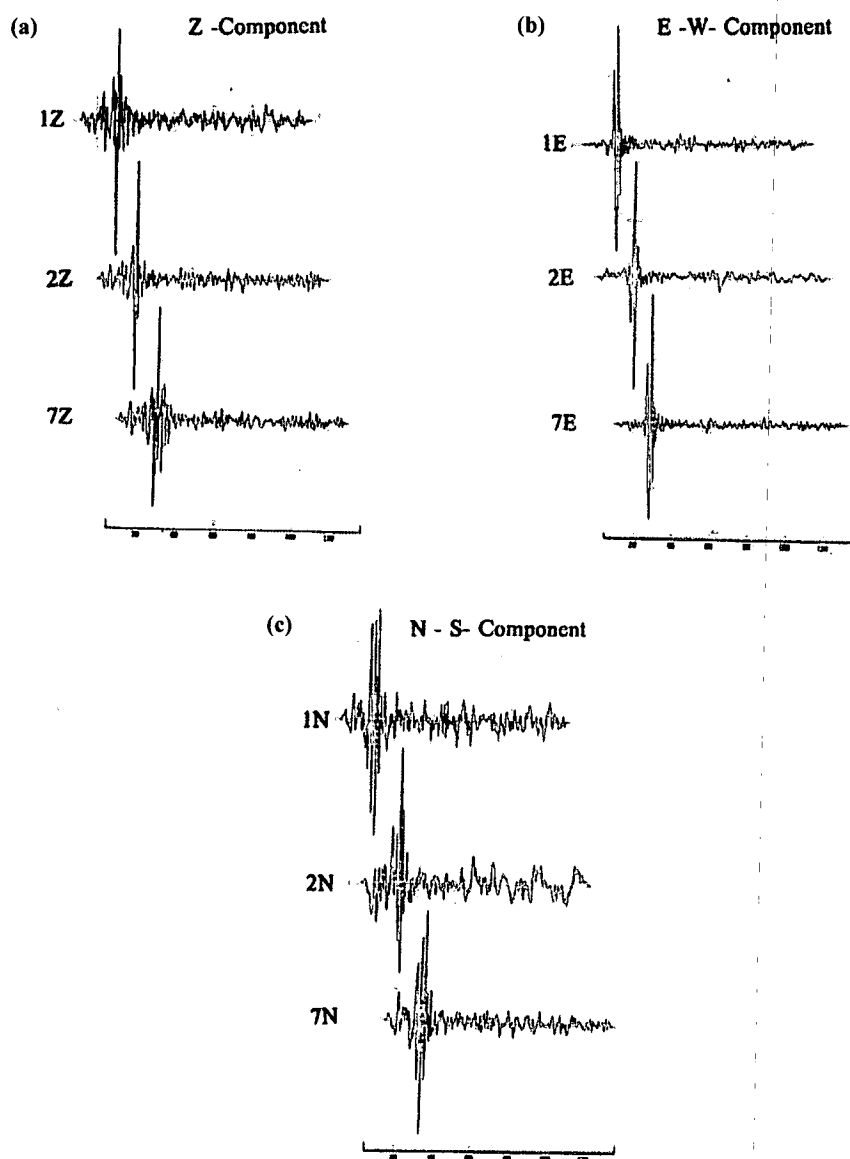
۱۷- به علت این که داده‌های زمین‌لرزه بیست و هفت آوریل ۱۹۸۶ نوعی پاشیدگی نرمال را نشان می‌دهند (شکل b-۱۰) می‌توان نتیجه گرفت که در این منطقه، سرعت امواج بررسی نسبت به عمق افزایش می‌یابد.

۱۸- چنان‌که در شکل‌های c-۱۰ و d-۱۰ ملاحظه می‌شود، پاشیدگی امواج لاو نسبت به امواج ریلی بیشتر است. این موضوع نیز در شکل‌های b-۹ و d-۹ برای امواج سطحی در دو پایگاه TOL و KON در صفحه بسامد- زمان نشان داده شده است.



شکل ۲. مختصات و مشخصات زمین‌لرزه سوم مه ۱۹۹۵ کازرون.

- (a) موقعیت پایگاه‌های شبکه زلزله‌نگاری ایلپا (ILPA) مؤسسه ژئوفیزیک دانشگاه تهران
- (b) مشخصات زمین‌لرزه و مختصات پایگاه شماره ۱
- (c) مشخصات زمین‌لرزه و مختصات پایگاه شماره ۲
- (d) مشخصات زمین‌لرزه و مختصات پایگاه شماره ۷
- (e) پاسخ بسامد دستگاه زلزله‌نگار دوره بلند پایگاه ایلپا

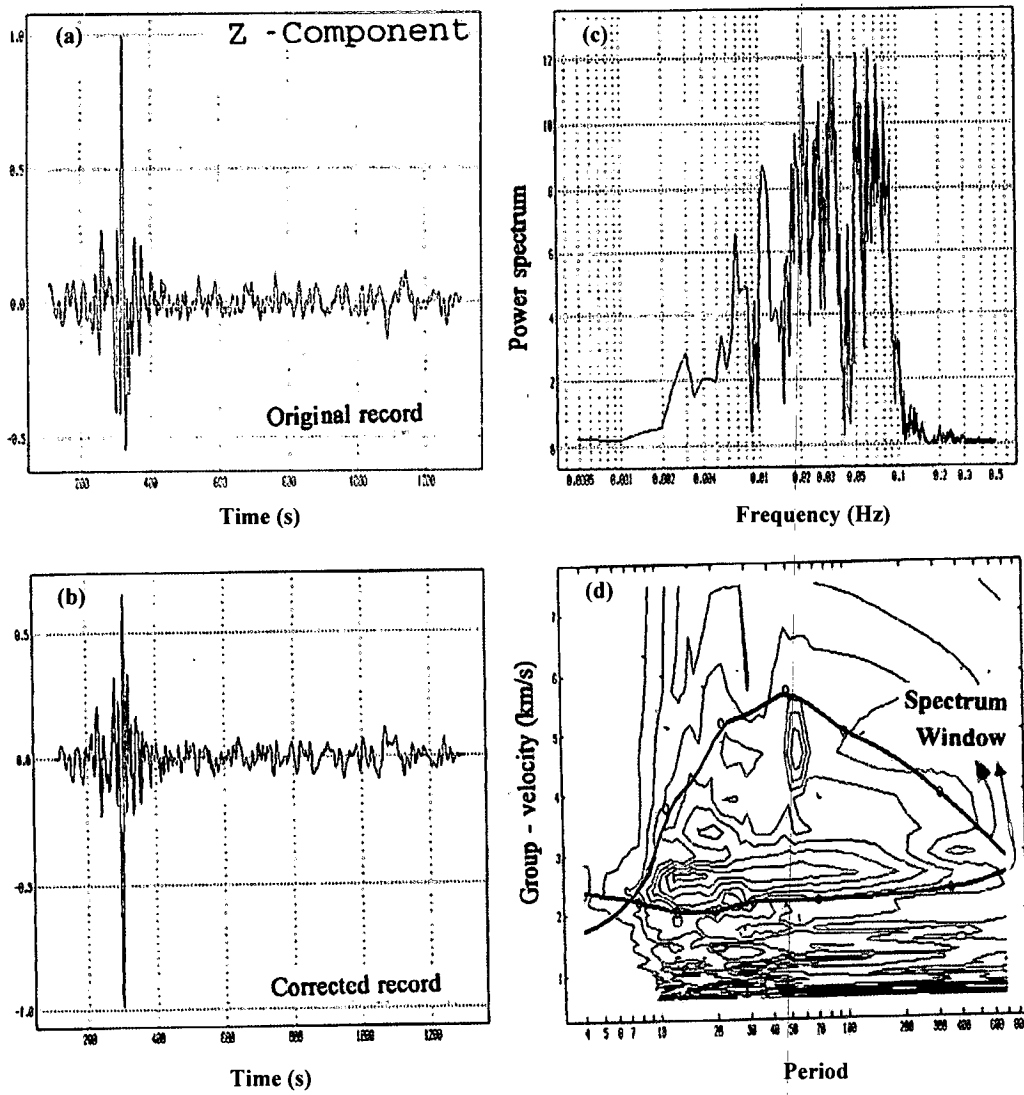


شکل ۳. نگاشت‌های زمین‌لرزه سوم مه ۱۹۹۵ در سه پایگاه شماره ۱، ۲، ۷ و ایلنا.

(a) مؤلفه‌های قائم سه پایگاه

(b) مؤلفه‌های شرقی- غربی سه پایگاه

(c) مؤلفه‌های شمالی-جنوبی سه پایگاه



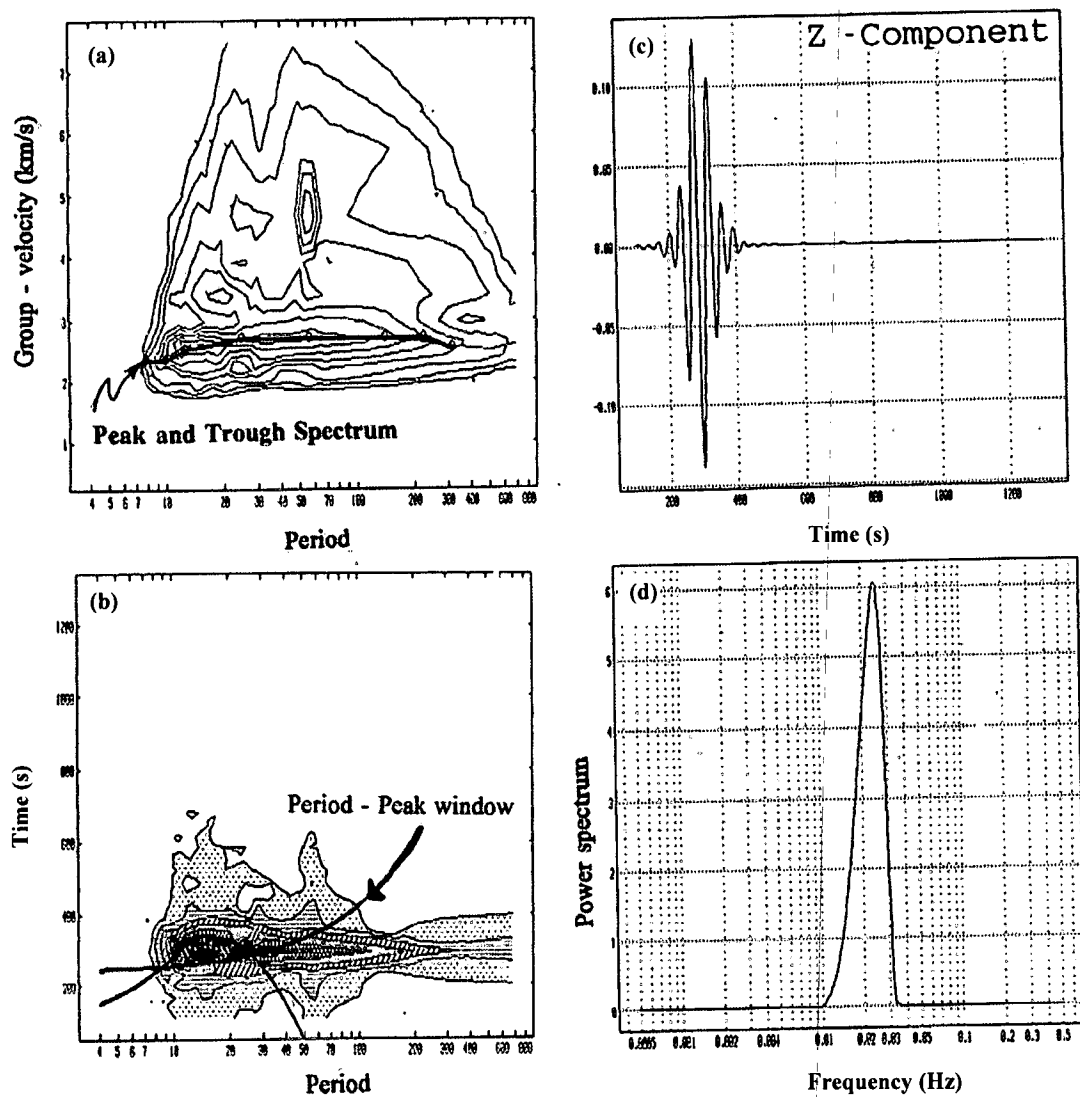
شکل ۴. پردازش نگاشت مؤلفه قائم پایگاه شماره ۱ (ایپا).

(a). نگاشت زمین لرزه سوم مه ۱۹۹۵

(b). نگاشت زمین لرزه پس از تصحیح طیف فاز- دامنه و انحراف محور

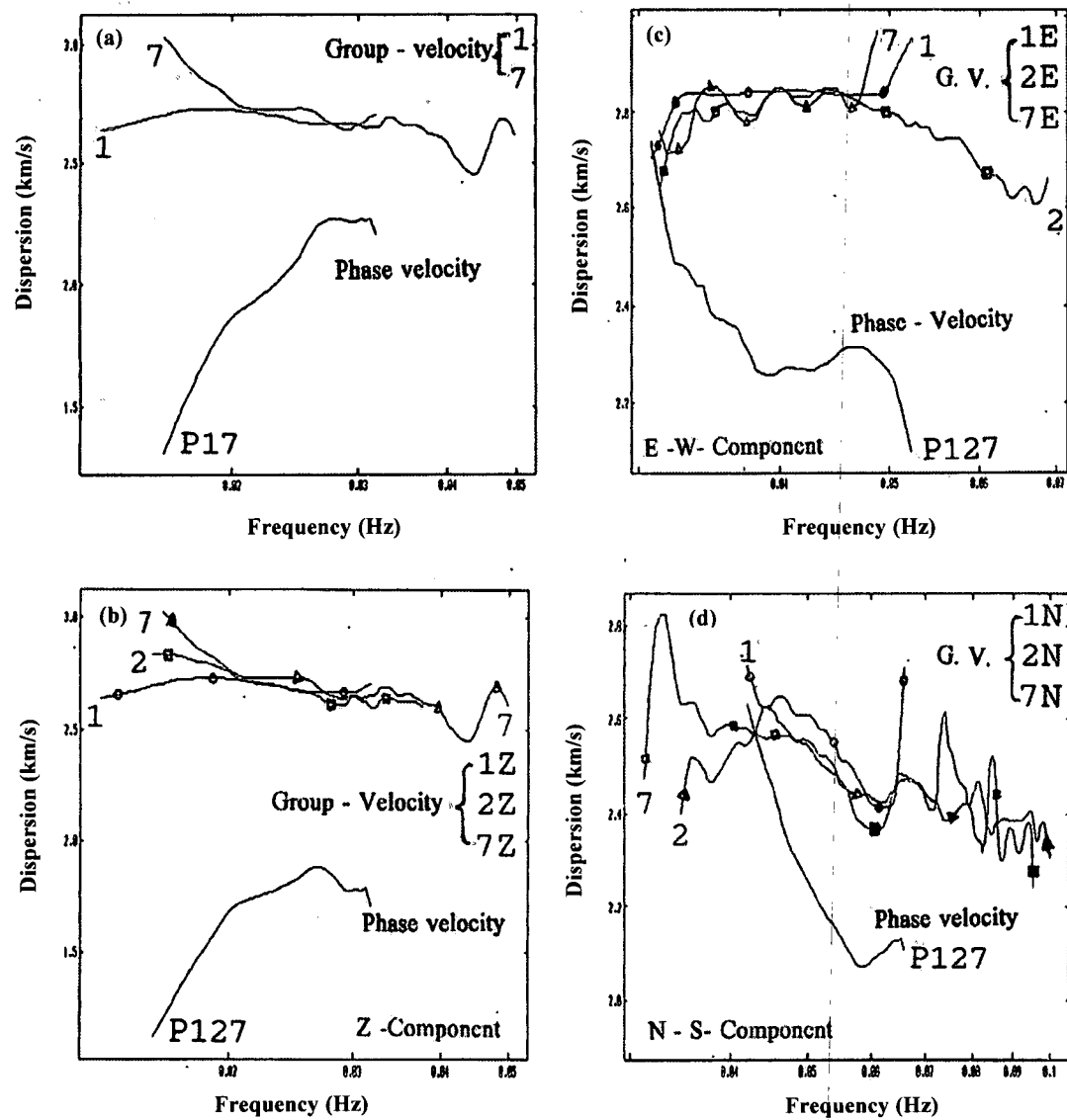
(c). طیف توان نگاشت مؤلفه قائم

(d). طیف صفحه‌ای و انتخاب پنجره امواج سطحی



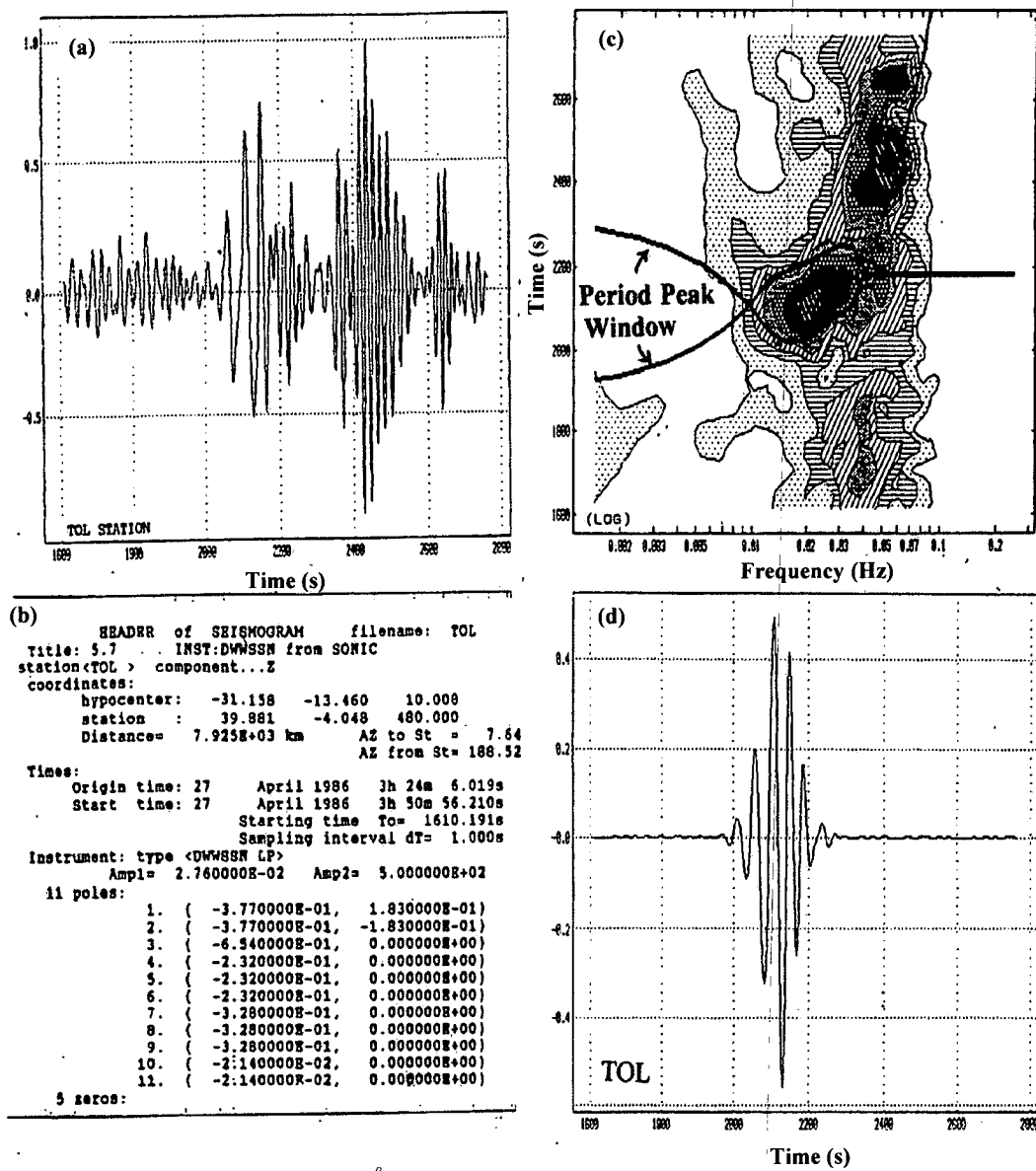
شکل ۵. پردازش نگاشت مؤلفه قائم پایگاه شماره ۱ (ایپا).

- (a). نقشه طیف صفحه‌ای امواج جدا شده
- (b). جداسازی موج سطحی با استفاده از فیلتر شناور
- (c). نگاشت موج سطحی مؤلفه قائم پایگاه شماره ۱
- (d). پنجره موج سطحی مربوط به مؤلفه قائم پایگاه شماره ۱



شکل ۶. محاسبات سرعت گروه و سرعت فاز از نگاشت‌های زمین لرزه سوم مه ۱۹۹۵ در سه پایگاه ایلپا.

- منحنی‌های پاشیدگی از مؤلفه‌های قائم دو پایگاه
- منحنی‌های پاشیدگی از مؤلفه‌های قائم از سه پایگاه
- منحنی‌های پاشیدگی مؤلفه‌های شرقی- غربی از سه پایگاه
- منحنی‌های پاشیدگی مؤلفه‌های شمالی- جنوبی از سه پایگاه



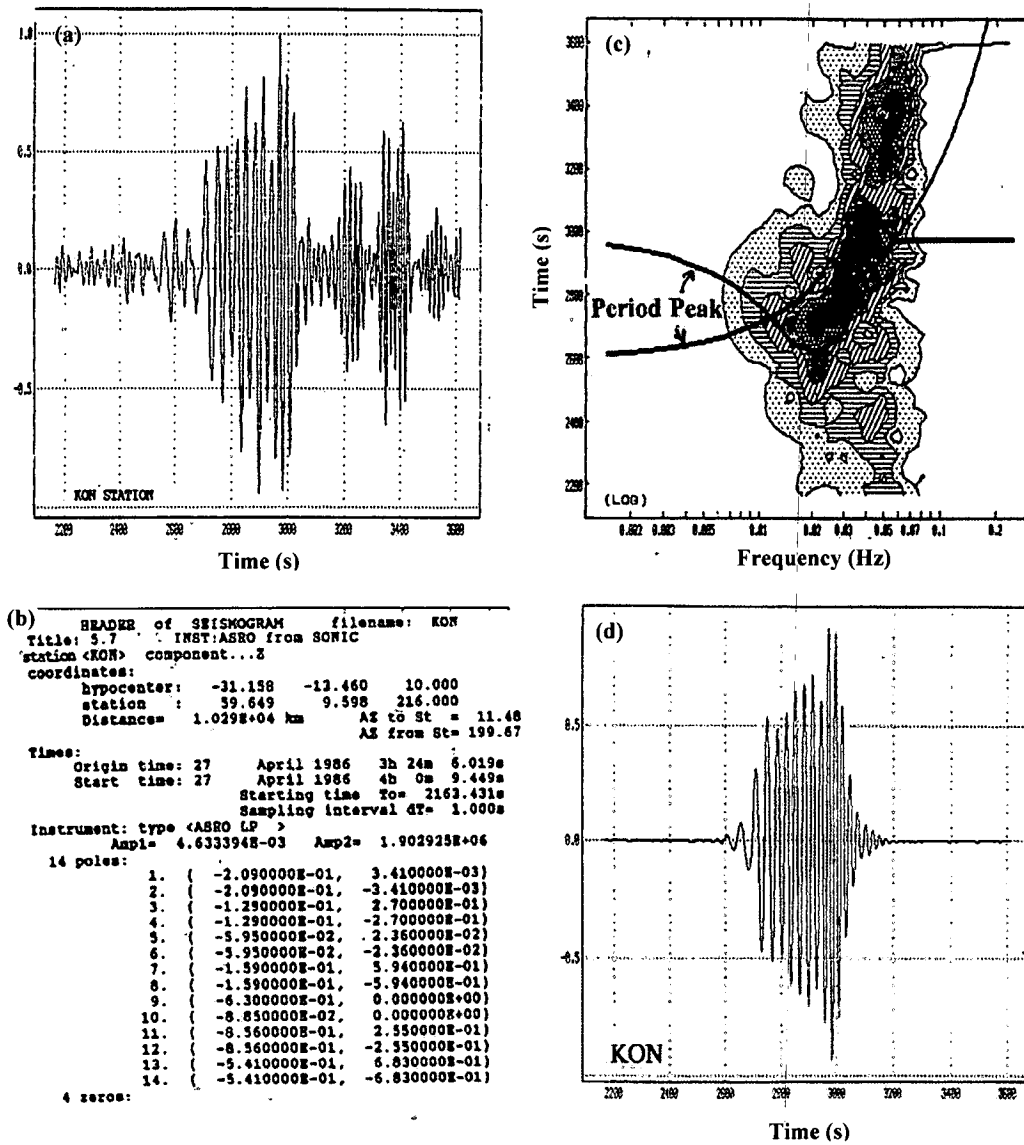
شکل ۷. پردازش نگاشت زمین لرزه بیست و هفت آوریل ۱۹۸۶ سنت هلنا در اقیانوس اطلس.

(a). نگاشت زلزله در پایگاه TOL

(b). مختصات پایگاه زلزله‌نگاری TOL و مشخصات زمین لرزه بیست و هفت آوریل ۱۹۸۶

(c). نقشه طیف صفحه‌ای بسامد- زمان با پنجره‌ای از امواج لاو

(d). نگاشت زمانی امواج لاو جدا شده



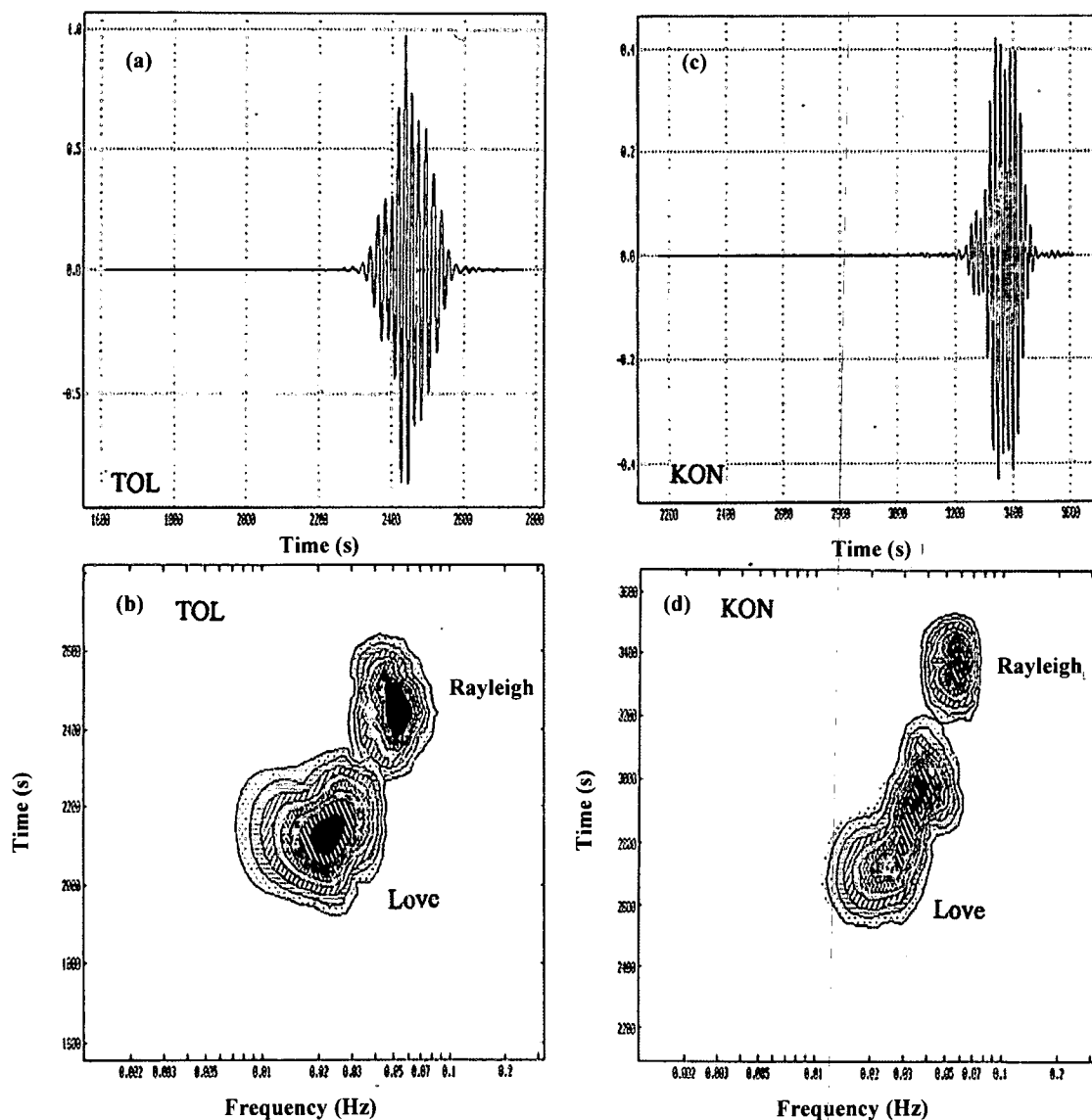
شکل ۸ پردازش نگاشت زمین لرزه بیست و هفت آوریل ۱۹۸۶ سنت هلنا در اقیانوس اطلس.

(a). نگاشت زلزله در پایگاه

(b). مشخصات پایگاه زلزله‌نگاری KON و مشخصات زمین لرزه ۲۷ آوریل ۱۹۸۶

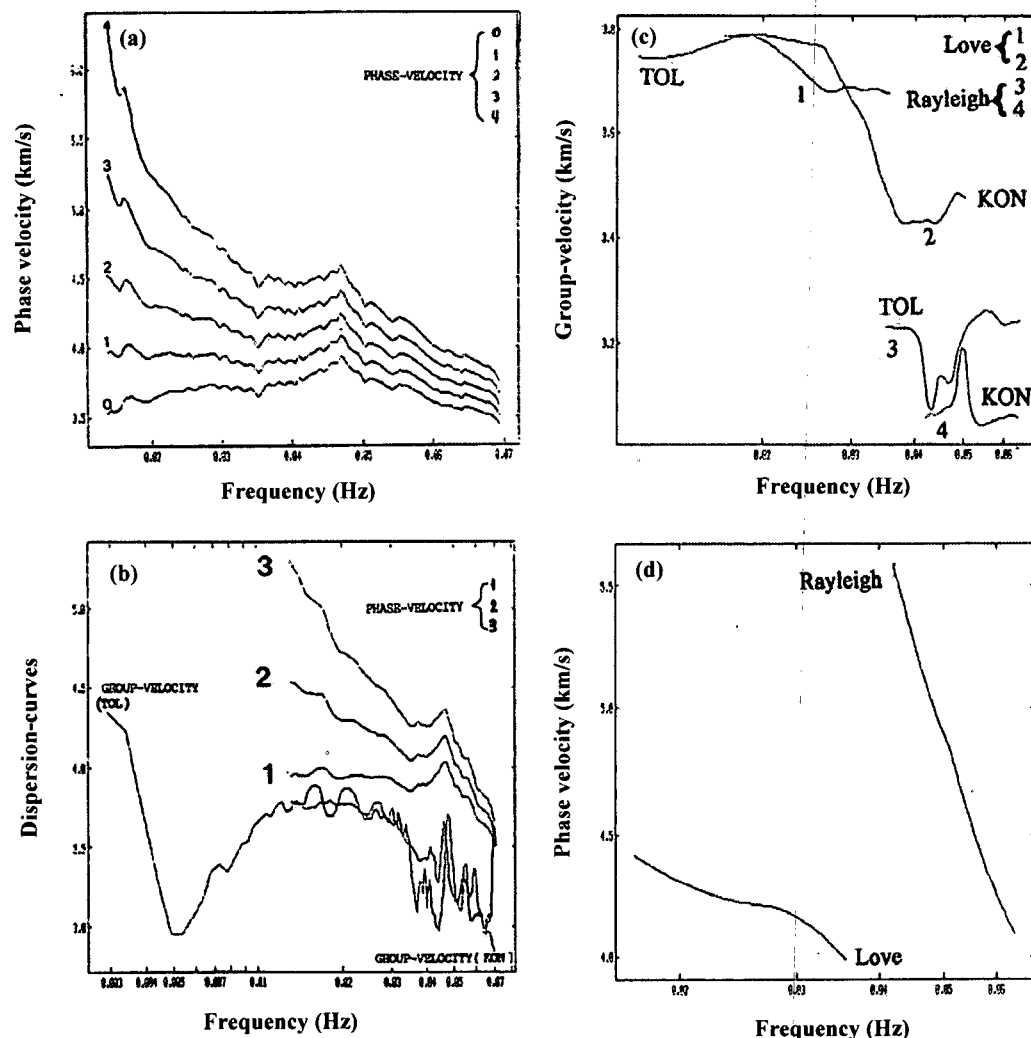
(c). نقشه طیف صفحه‌ای بسامد-زمان با پنجره‌ای از امواج لاو

(d). نگاشت زمانی امواج لاو جدا شده



شکل ۹. مقایسه طیف امواج لاو و ریلی.

- (a). نگاشت زمانی امواج ریلی در پایگاه TOL
- (b). مقایسه طیف صفحه‌ای امواج لاو و ریلی در پایگاه TOL
- (c). نگاشت زمانی امواج ریلی در پایگاه KON
- (d). مقایسه طیف صفحه‌ای امواج لاو و ریلی در پایگاه KON



شکل ۱۰. محاسبات سرعت گروه و سرعت فاز از نگاشتهای زمین‌لرزه بیست و هفت آوریل ۱۹۸۶

(a). منحنی‌های سرعت فاز از نگاشتهای اصلی پایگاه‌های TOL و KON با روش برونپابی

(b). منحنی‌های پاشیدگی از نگاشتهای دو پایگاه فوق الذکر

(c). منحنی‌های سرعت گروه محاسبه شده امواج لاو و ریلی در دو پایگاه

(d). منحنی‌های سرعت فاز محاسبه شده امواج لاو و ریلی بین دو پایگاه